

# PME-3211 - Mecânica dos Sólidos II

Aula #12

(Exercícios: Estudo das Deformações)

Prof. Dr. Roberto Ramos Jr.

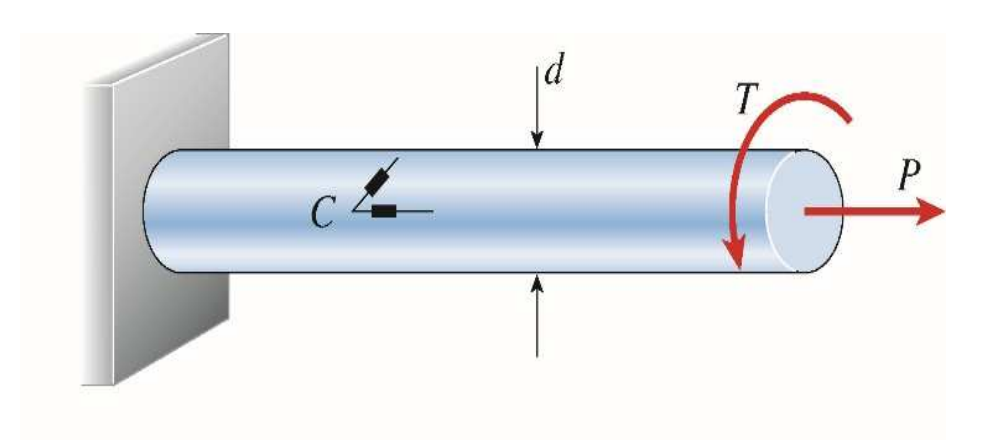
10/10/2023

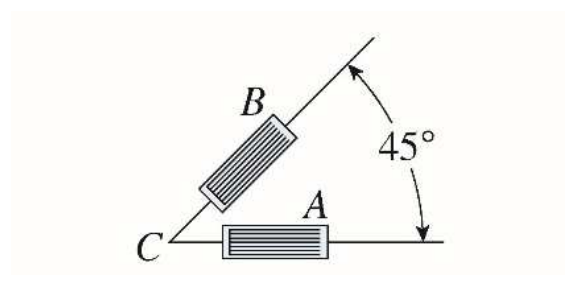


7.7-17. Uma barra circular sólida de diâmetro d = 40 mm está submetida a uma força axial P e a um torque T (vide figura). Os extensômetros A e B montados na superfície da barra fornecem as leituras  $\varepsilon_a = 100 \times 10^{-6}$  e  $\varepsilon_b = -55 \times 10^{-6}$ . A barra é feita de aço tendo E = 200 GPa e v = 0,29. Pede-se:

- a) Determine a força axial P e o torque T;
- b) Determine a distorção máxima e a tensão de cisalhamento máxima na barra.

Resp.: a) P = 25,133 kN, T = 176,327 N.m, b)  $\gamma_{m\acute{a}x} = 222 \times 10^{-6}$ ,  $\tau_{m\acute{a}x} = 17,78$  MPa.

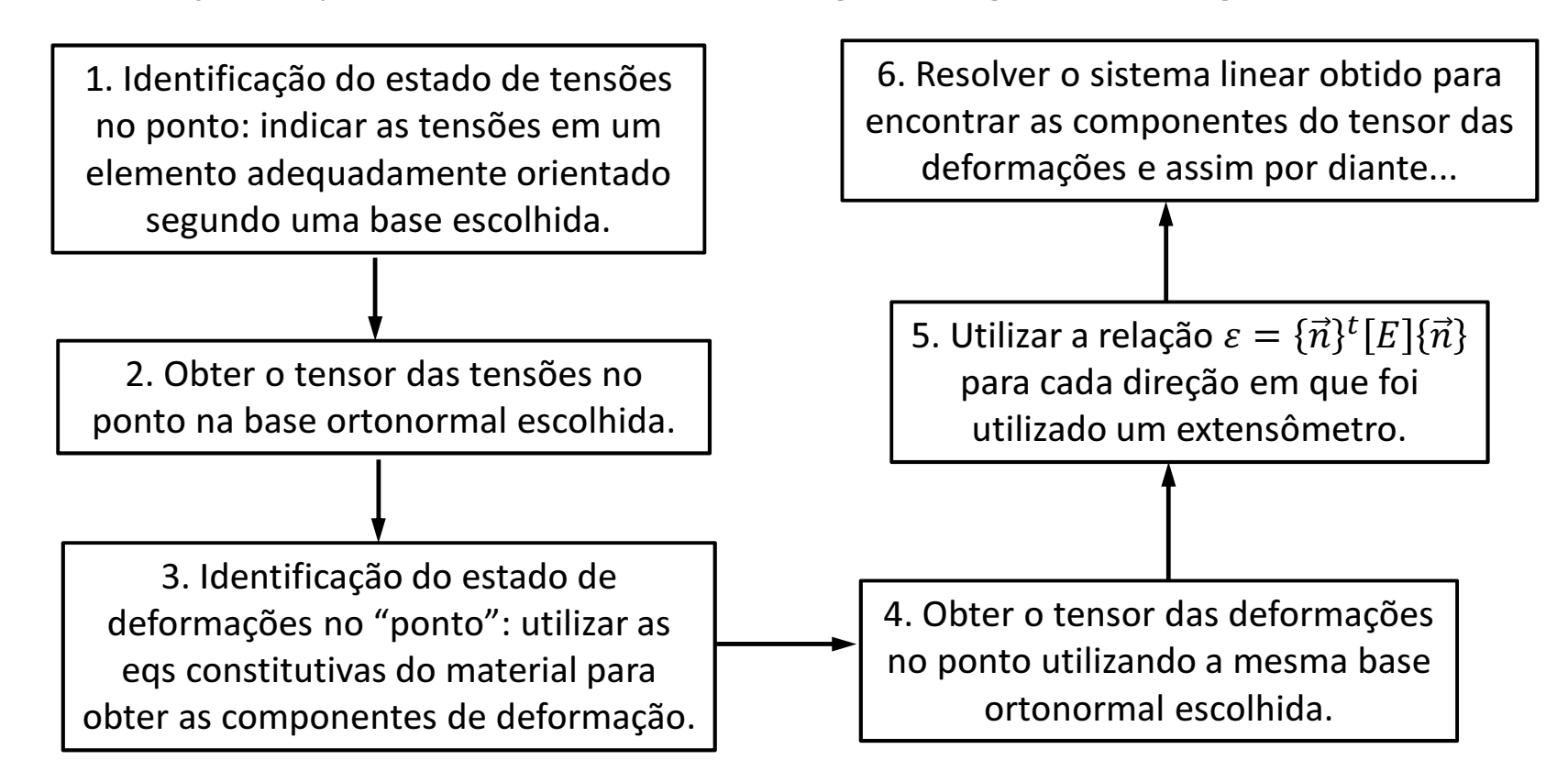






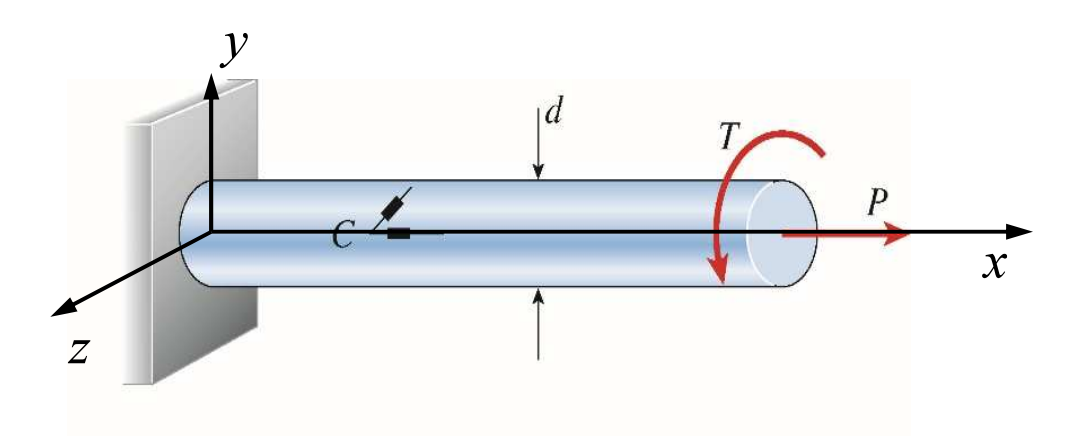
#### Solução:

A solução de problemas desta natureza segue, em geral, o fluxograma abaixo:

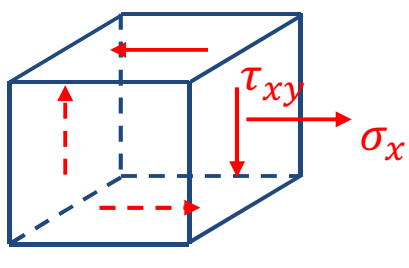


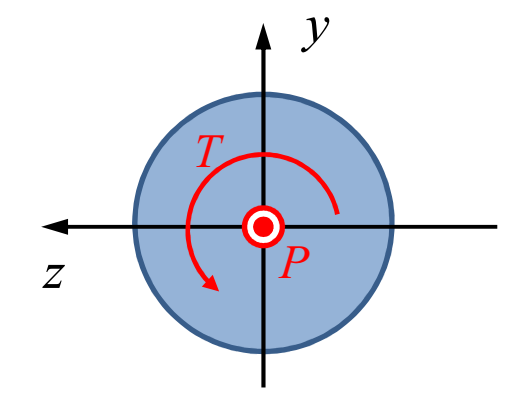


1. Identificação do estado de tensões no ponto: indicar as tensões em um elemento adequadamente orientado segundo uma base escolhida.



#### Estado tensional no ponto C:



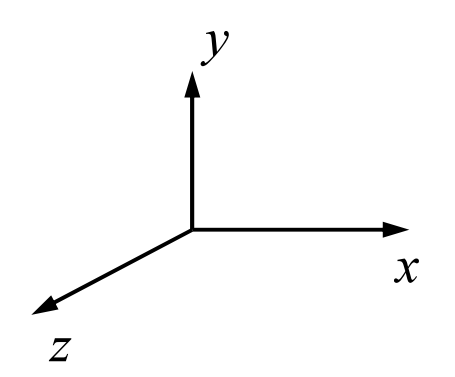


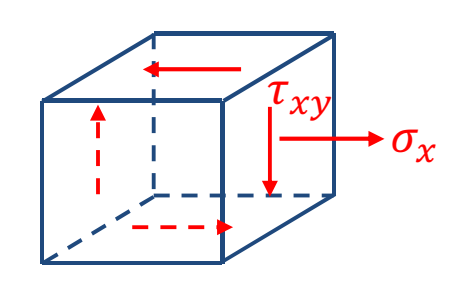
$$\sigma_{x} = \frac{P}{A} = \frac{4P}{\pi d^{2}}$$

$$\sigma_x = \frac{P}{A} = \frac{4P}{\pi d^2}$$
  $\tau_{xy} = -\frac{T}{I_p} \frac{d}{2} = -\frac{16T}{\pi d^3}$ 



2. Obter o tensor das tensões no ponto na base ortonormal escolhida.





$$\sigma_{x} = \frac{4P}{\pi d^{2}}$$

$$\tau_{xy} = -\frac{167}{\pi d^3}$$

$$[T]_b = \begin{bmatrix} \sigma_x & \tau_{yx} & 0 \\ \tau_{xy} & 0 & 0 \\ 0 & 0 & 0 \end{bmatrix}$$



3. Identificação do estado de deformações no "ponto": utilizar as egs constitutivas do material para obter as componentes de deformação.

Para materiais com comportamento elástico-linear, homogêneo e isótropo, temos:

$$\varepsilon_{x} = \frac{1}{E} \left[ \sigma_{x} - \nu (\sigma_{y} + \sigma_{z}) \right] = \frac{\sigma_{x}}{E} = \frac{4P}{\pi d^{2}E}$$

$$\gamma_{xy} = \frac{\tau_{xy}}{G} = -\frac{16T}{\pi d^3} \cdot \frac{2(1+\nu)}{E}$$

$$\varepsilon_{y} = \frac{1}{E} \left[ \sigma_{y} - \nu (\sigma_{x} + \sigma_{z}) \right] = -\nu \frac{\sigma_{x}}{E} = -\frac{4\nu P}{\pi d^{2} E} \qquad \gamma_{yz} = \frac{\tau_{yz}}{G} = 0$$

$$\gamma_{yz} = \frac{\tau_{yz}}{G} = 0$$

$$\varepsilon_{z} = \frac{1}{E} \left[ \sigma_{z} - \nu (\sigma_{x} + \sigma_{y}) \right] = -\nu \frac{\sigma_{x}}{E} = -\frac{4\nu P}{\pi d^{2} E} \qquad \gamma_{xz} = \frac{\tau_{xz}}{G} = 0$$

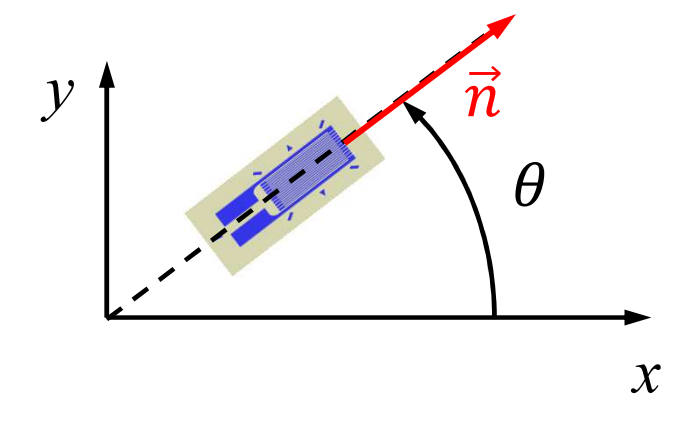
$$\gamma_{xz} = \frac{\tau_{xz}}{G} = 0$$



4. Obter o tensor das deformações no ponto utilizando a mesma base ortonormal escolhida.

$$[E]_b = \begin{bmatrix} \varepsilon_x & \gamma_{xy}/2 & 0\\ \gamma_{xy}/2 & \varepsilon_y & 0\\ 0 & 0 & \varepsilon_z \end{bmatrix}$$

5. Utilizar a relação  $\varepsilon = {\vec{n}}^t[E]{\vec{n}}$  para cada direção em que foi utilizado um extensômetro.



$$\vec{n} = (\cos\theta, \sin\theta, 0)_b$$

$$\varepsilon_{\theta} = \{\vec{n}\}^t [E] \{\vec{n}\}$$



$$\{\vec{\epsilon}\}_b = \begin{bmatrix} \varepsilon_x & \gamma_{xy}/2 & 0 \\ \gamma_{xy}/2 & \varepsilon_y & 0 \\ 0 & 0 & \varepsilon_z \end{bmatrix} \begin{cases} \cos\theta \\ \sin\theta \\ 0 \end{cases} = \begin{cases} \varepsilon_x \cos\theta + \frac{\gamma_{xy}}{2} \sin\theta \\ \frac{\gamma_{xy}}{2} \cos\theta + \varepsilon_y \sin\theta \\ 0 \end{cases}$$

$$\varepsilon_{\theta} = \{\vec{n}\}^{t}[E]\{\vec{n}\} = \varepsilon_{x} cos^{2}\theta + \varepsilon_{y} sen^{2}\theta + \gamma_{xy} sen\theta cos\theta$$

Assim, para  $\theta=0$ , teremos a leitura do extensômetro a: ( $\varepsilon_a=100\times 10^{-6}$ )

$$\varepsilon_a = \varepsilon_x = \frac{4P}{\pi d^2 E}$$

E, para  $\theta=\pi/4$ , teremos a leitura do extensômetro b: ( $\varepsilon_b=-55\times 10^{-6}$ )

$$\varepsilon_b = \frac{\varepsilon_x}{2} + \frac{\varepsilon_y}{2} + \frac{\gamma_{xy}}{2} \iff 2\varepsilon_b = \varepsilon_x + \varepsilon_y + \gamma_{xy}$$



6. Resolver o sistema linear obtido para encontrar as componentes do tensor das deformações e assim por diante...

$$\frac{4P}{\pi d^2 E} = \varepsilon_a \iff P = \frac{\pi d^2 E \varepsilon_a}{4}$$

$$\varepsilon_x + \varepsilon_y + \gamma_{xy} = 2\varepsilon_b \Leftrightarrow (1 - v)\varepsilon_a - \frac{(1 + v)}{E} \frac{32T}{\pi d^3} = 2\varepsilon_b$$

$$T = \left[ \frac{(1 - \nu)\varepsilon_a - 2\varepsilon_b}{32(1 + \nu)} \right] E\pi d^3$$

Substituindo os valores, resultam: P = 25133 N T = 176,32 Nm

$$P = 25133 N$$

$$T = 176,32 \, Nm$$



#### Item (b):

$$\sigma_x = \frac{4P}{\pi d^2} = E \varepsilon_a = 20 MPa$$

$$au_{xy} = -rac{16T}{\pi d^3} = -14,03 MPa$$

$$[T]_b = \begin{bmatrix} 20 & -14,03 & 0 \\ -14,03 & 0 & 0 \\ 0 & 0 & 0 \end{bmatrix} (MPa)$$

#### Cálculo das tensões principais:

$$det \begin{bmatrix} \sigma_x - \sigma & \tau_{yx} & 0 \\ \tau_{xy} & -\sigma & 0 \\ 0 & 0 & -\sigma \end{bmatrix} = 0 \iff -\sigma(\sigma^2 - \sigma_x \sigma - \tau_{xy}^2) = 0$$

$$\sigma = 0$$
 ou  $\sigma = \frac{\sigma_x}{2} \pm \frac{1}{2} \sqrt{\sigma_x^2 + 4\tau_{xy}^2}$ 



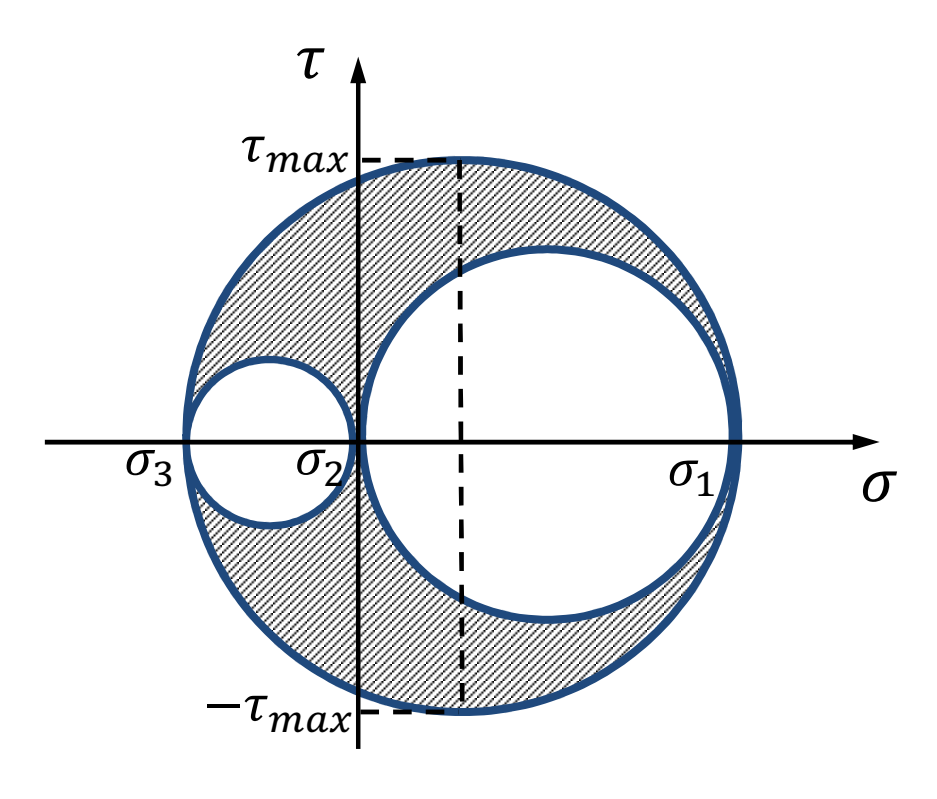
Note que a fórmula que fornece as duas tensões principais não nulas é a versão simplificada (pois nesse caso temos  $\sigma_y = 0$ ) da expressão já vista no curso para o cálculo das tensões principais (vide Aula #06, slide 19):

$$\sigma = \frac{\left(\sigma_x + \sigma_y\right)}{2} \pm \sqrt{\left(\frac{\sigma_x - \sigma_y}{2}\right)^2 + \tau_{xy}^2}$$

Substituindo os valores numéricos encontramos as tensões principais (já ordenadas segundo a convenção usual):

$$\sigma_1 = 27,23 \, MPa$$
,  $\sigma_2 = 0$ ,  $\sigma_3 = -7,23 MPa$ 

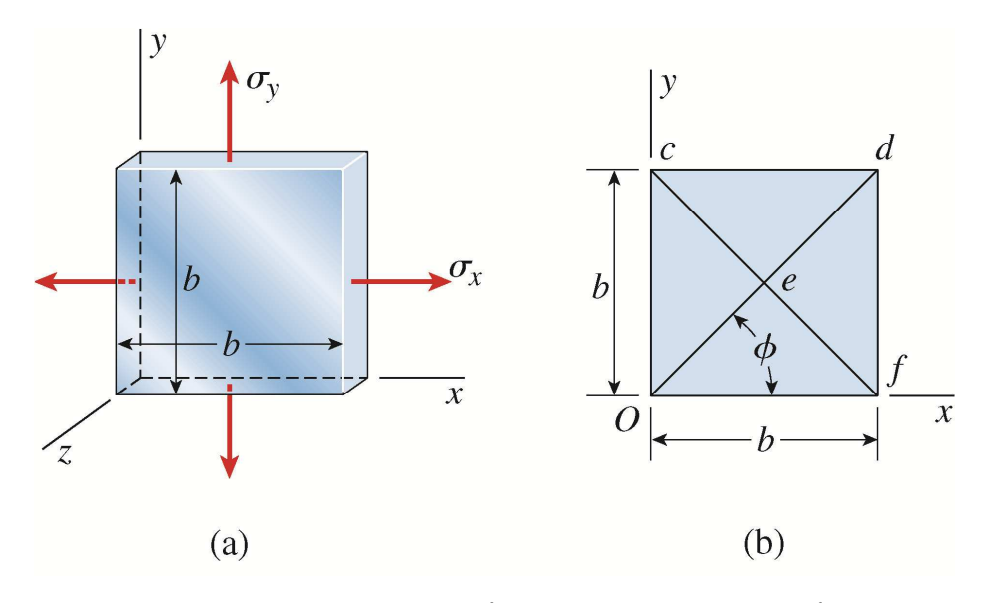




$$\tau_{m\acute{a}x} = \frac{\sigma_1 - \sigma_3}{2} = 17,23 \, MPa$$
 $\gamma_{m\acute{a}x} = 2(1 + \nu) \frac{\tau_{m\acute{a}x}}{E} = 222 \, \mu$ 



- 7.7-3. Uma placa quadrada fina em tensão biaxial está submetida às tensões  $\sigma_x$  e  $\sigma_y$ , como ilustrado na figura (a). A largura da placa é b = 300 mm. Medições mostram que as deformações nas direções x e y são  $\varepsilon_x$  = 427  $\mu$  e  $\varepsilon_y$  = 113  $\mu$ , respectivamente. Com referência à figura (b), determine:
- a) o incremento  $\Delta d$  no comprimento da diagonal Od;
- b) a variação  $\Delta \varphi$  no ângulo  $\varphi$  entre a diagonal Od e o eixo x e
- c) a variação no ângulo  $c\hat{e}d$ .





Solução (1): utilizando apenas definições e cálculos mais simples...

#### Item (a):

A variação do comprimento da placa medido na direção horizontal será:

$$\Delta L_x = \varepsilon_x L_{0x} = 427 \times 10^{-6} \times 300 \ mm = 0.1281 \ mm$$

A variação do comprimento da placa medido na direção vertical será:

$$\Delta L_y = \varepsilon_y L_{0y} = 113 \times 10^{-6} \times 300 \ mm = 0.0339 \ mm$$

Os comprimentos inicial  $(d_0)$  e final  $(d_f)$  da diagonal Od serão dados por:

$$d_0 = 300\sqrt{2} \ mm = 424,2640687 \ mm$$

$$d_f = \sqrt{(300,1281)^2 + (300,0339)^2} \ mm = 424,378625 \ mm$$

Logo: 
$$\Delta d = d_f - d_0 = 0.1145565 \ mm$$



Item (b):

O ângulo  $\varphi_0$  inicial entre a diagonal Od e o eixo horizontal é:

$$\varphi_0 = \frac{\pi}{4} = 0,78539816 \ rad$$

O ângulo  $\varphi_f$  final entre a diagonal Od e o eixo horizontal é:

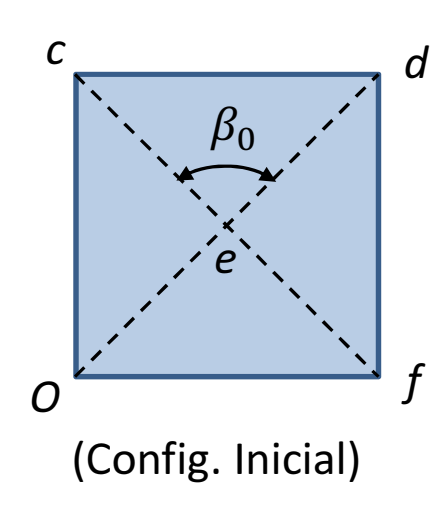
$$\varphi_f = \arctan\left(\frac{300,0339}{300,1281}\right) = 0,7852412 \ rad$$

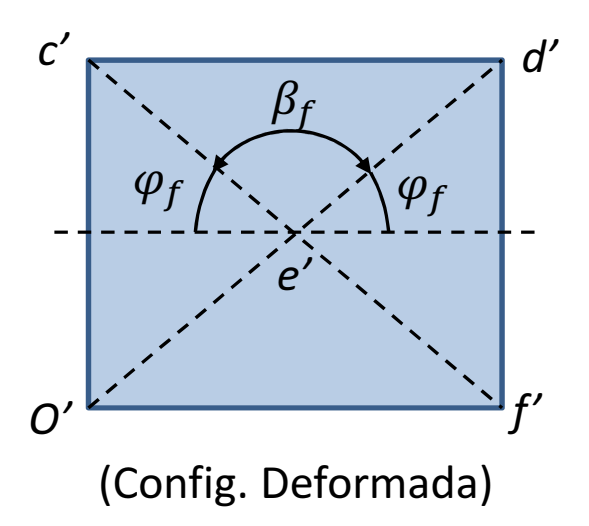
Logo, a variação  $\Delta \varphi$  fica dada por:

$$\Delta \varphi = \varphi_f - \varphi_0 = -1,569576 \times 10^{-4} rad \cong -0,009^{\circ}$$



#### Item (c):





A variação no ângulo  $c\hat{e}d$  será:

$$\Delta\beta = \beta_f - \beta_0 = (\pi - 2\varphi_f) - \frac{\pi}{2} \iff \Delta\beta = \frac{\pi}{2} - 2\varphi_f \cong 3,13915 \times 10^{-4} rad$$
$$\Delta\beta \cong 0,017986^{\circ}$$



Solução (2): solução utilizando o tensor das deformações...

a) O estado de tensão na placa é composto apenas pelas tensões  $\sigma_x$  e  $\sigma_y$  que levam às deformações  $\varepsilon_x$  e  $\varepsilon_y$ , já fornecidas. Assim, o tensor das deformações (em qualquer ponto da placa), escrito na base  $b=\left(\vec{e}_x,\vec{e}_y,\vec{e}_z\right)$  fica dado por:

$$[E]_b = \begin{bmatrix} \varepsilon_{\chi} & 0 & 0 \\ 0 & \varepsilon_{y} & 0 \\ 0 & 0 & \varepsilon_{z} \end{bmatrix}$$

Como  $\sigma_z = 0$ , temos pela lei de Hooke:

$$\varepsilon_{x} = \frac{1}{E} \left[ \sigma_{x} - \nu \sigma_{y} \right] \qquad \qquad \varepsilon_{y} = \frac{1}{E} \left[ \sigma_{y} - \nu \sigma_{x} \right] \qquad \qquad \varepsilon_{z} = -\frac{\nu}{E} \left[ \sigma_{x} + \sigma_{y} \right]$$

Somando as duas primeiras equações, obtemos:



$$\varepsilon_{x} + \varepsilon_{y} = \frac{(1 - v)}{E} [\sigma_{x} + \sigma_{y}] \quad \Leftrightarrow \quad \sigma_{x} + \sigma_{y} = \frac{E}{(1 - v)} [\varepsilon_{x} + \varepsilon_{y}]$$

Logo: 
$$\varepsilon_z = -\frac{v}{(1-v)} [\varepsilon_x + \varepsilon_y]$$

Considerando v = 0.3 (valor não fornecido pelo problema, <u>já que não será um dado necessário</u>), teremos:

$$\varepsilon_z = -\frac{0.3}{0.7} [540 \times 10^{-6}] \cong -231.4 \,\mu$$

Logo: 
$$[E]_b = \begin{bmatrix} 427 & 0 & 0 \\ 0 & 113 & 0 \\ 0 & 0 & -231.4 \end{bmatrix} (\mu)$$



O alongamento da fibra que, na configuração de referência, tinha a direção da diagonal *Od* é dada por (vide slides #7 e #8):

$$\varepsilon_{\theta} = \{\vec{n}\}^{t}[E]\{\vec{n}\} = \varepsilon_{x}cos^{2}\theta + \varepsilon_{y}sen^{2}\theta + \gamma_{xy}sen\theta cos\theta$$

Nesse caso, temos  $\theta = \pi/4$  e  $\gamma_{xy} = 0$ , logo:

$$\varepsilon_{\theta} = \frac{\varepsilon_{x} + \varepsilon_{y}}{2} = 270 \ \mu$$

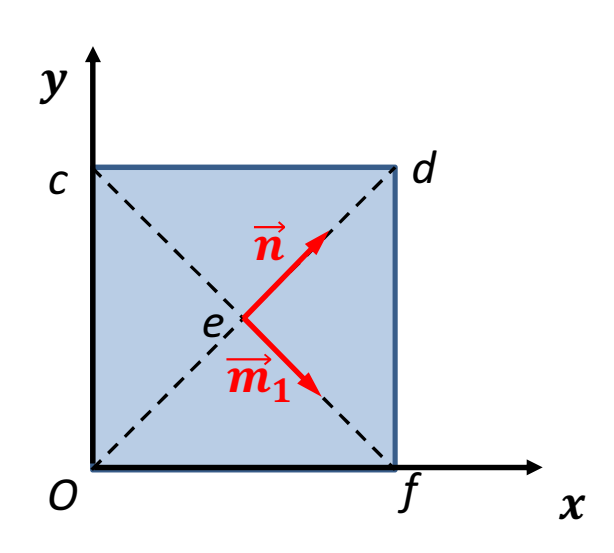
A variação no comprimento da diagonal *Od* será então:

$$\Delta d = \varepsilon_{\theta} d_0 = 270 \times 10^{-6} \times 424,2640687 \ mm = 0,1145513 \ mm$$

Cálculo anterior:  $\Delta d = 0.1145565 \ mm$ 



Item (b): Vamos calcular a distorção ( $\gamma_1$ ) entre as fibras que, na configuração de referência, têm as direções ed e ef:



$$\gamma_1 \cong 2\{\vec{m}_1\}^t[E]\{\vec{n}\}$$

Onde: 
$$\{\vec{n}\} = \begin{cases} \sqrt{2}/2 \\ \sqrt{2}/2 \\ 0 \end{cases}$$
  $\{\vec{m}_1\} = \begin{cases} \sqrt{2}/2 \\ -\sqrt{2}/2 \\ 0 \end{cases}$ 

$$[E]{\{\vec{n}\}} = \begin{bmatrix} \varepsilon_{x} & 0 & 0 \\ 0 & \varepsilon_{y} & 0 \\ 0 & 0 & \varepsilon_{z} \end{bmatrix} \begin{Bmatrix} \sqrt{2}/2 \\ \sqrt{2}/2 \\ 0 \end{Bmatrix} = \frac{\sqrt{2}}{2} \begin{Bmatrix} \varepsilon_{x} \\ \varepsilon_{y} \\ 0 \end{Bmatrix}$$

$$\gamma_1 \cong 2\{\vec{m}_1\}^t[E]\{\vec{n}\} = \varepsilon_x - \varepsilon_y = 314 \,\mu$$

Obs: O valor positivo encontrado para  $\gamma_1$  indica que houve uma <u>redução</u> no ângulo original de  $90^\circ$  entre as fibras...

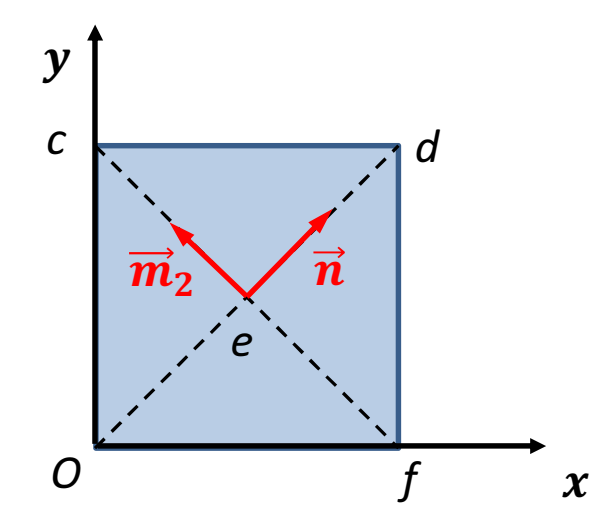


Da condição de simetria, decorre que a variação  $\Delta \varphi$  do ângulo  $\varphi$  entre a diagonal *Od* e o eixo *x* é dada (em rad) por:

$$\Delta \varphi = -\frac{\gamma_1}{2} = -157 \,\mu \,\cong -0.009^{\circ}$$

$$\Delta \varphi = -\frac{\gamma_1}{2} = -157 \,\mu \, \cong -0{,}009^{\circ}$$
 Cálc. Ant.:  $\Delta \varphi = -1{,}569576 \times 10^{-4} rad$ 

Item (c): Vamos calcular agora a distorção ( $\gamma_2$ ) entre as fibras que, na configuração de referência, têm as direções *ed* e *ec*:



$$\gamma_2 \cong 2\{\vec{m}_2\}^t[E]\{\vec{n}\}$$

Onde: 
$$\{\vec{n}\} = \begin{cases} \sqrt{2}/2 \\ \sqrt{2}/2 \\ 0 \end{cases}$$
  $\{\vec{m}_2\} = \begin{cases} -\sqrt{2}/2 \\ \sqrt{2}/2 \\ 0 \end{cases}$ 



Teremos: 
$$\gamma_2 \cong 2\{\vec{m}_2\}^t[E]\{\vec{n}\} = -\varepsilon_x + \varepsilon_y = -314 \,\mu$$

Obs: O valor negativo encontrado para  $\gamma_2$  indica que houve um <u>aumento</u> no ângulo original de  $90^\circ$  entre as fibras...

Assim, a variação no ângulo  $c\hat{e}d$  será:

$$\Delta \beta = -\gamma_2 = 314\mu$$

Cálc. Ant.: 
$$\Delta \beta \cong 3{,}13915 \times 10^{-4} rad$$

Obs: Comparem os valores obtidos pelas duas formas de solução do problema. Apesar de as diferenças serem insignificantes, qual seria a razão das discrepâncias e como podemos eliminá-las?



8.3-5. Um extensômetro é instalado na direção longitudinal na superfície de uma lata de alumínio, conforme indicado na figura. A razão entre o raio e a espessura da lata é de 200. Quando a tampa da lata é aberta, a deformação varia  $\varepsilon_0 = -170\mu$ . Qual era a pressão interna p na lata?

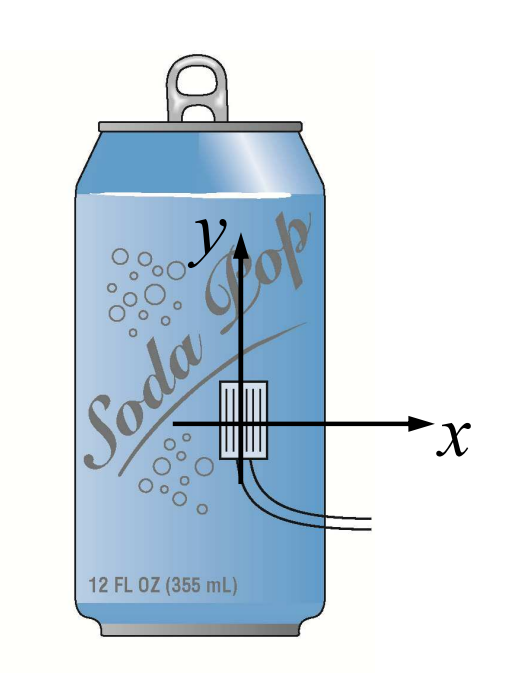
Dados: E = 70 GPa e v = 0,33.





### Solução:

O estado tensional nos pontos da superfície quando a lata está fechada é dado por:



$$\sigma_x \cong \frac{pR}{t} = 200p$$
 (tensão circunferencial)

$$\sigma_y \cong \frac{pR}{2t} = 100p$$
 (tensão longitudinal)



Este estado tensional leva à seguinte deformação medida na direção longitudinal:

$$\varepsilon_y = \frac{1}{E} [\sigma_y - \nu \sigma_x] = \frac{1}{E} [100p - 0.33(200p)] = 34 \frac{p}{E}$$

Desta forma, ao abrirmos a lata haverá uma despressurização e o extensômetro irá registrar um alongamento de sinal oposto ao indicado acima, ou seja:

$$\varepsilon_0 = -34 \frac{p}{E} = -170 \mu$$

Logo: 
$$\frac{p}{F} = 5 \times 10^{-6}$$
  $p = 0.35 \, MPa$ 



### Referências:

- [1] Martins, C.A. Introdução ao Estudo das Deformações, (2021), 69p.
- [2] Popov, E.P. Engineering Mechanics of Solids, 2<sup>nd</sup> ed., Prentice-Hall, Inc., 1998, 864p.
- [3] Gere, J.M., Goodno, B.J. Mecânica dos Materiais Tradução da 7ª edição norte-americana. Cengage Learning, 2010, 860p, Cap.7